Исследование влияния шумовых параметров 3D лидара на погрешность оценки рельефометрических сигнатур удаленных объектов по 2D распределениям интенсивности поля отраженного излучения

В.И.Иванов, Н.И.Иванов

Рассмотрено влияние шумовых параметров 3D лидара и внешнего фонового излучения на погрешность оценки рельефометрических сигнатур удаленных объектов по 2D распределениям интенсивности поля отраженного излучения. Разработана физико-математическая модель для анализа влияния шумов. Исследована зависимость погрешности оценки рельефометрических сигнатур при различных отношениях энергий сигнала и шума с учетом параметров реальных многоэлементных фотодетекторов (МФД). Полученные результаты свидетельствуют о возможности оценки рельефометрических сигнатур удаленных объектов с высокой точностью на базе стандартных МФД одновременно для большого числа точек поверхности объекта при отношении сигнал/шум свыше 4.

Ключевые слова: 3D лидар, 3D изображения, 3D камеры.

1. Введение

Повышение эффективности обнаружения и распознавания различных динамично изменяющихся объектов, включая малоконтрастные объекты и объекты с нулевой контрастностью, является основной задачей при разработке и создании современных лазерно-локационных систем видения и автоматизированного распознавания [1-5]. Приоритетным направлением для решения данной задачи является создание 3D лидаров несканирующего типа (3D Flash LIDAR), обеспечивающих получение рельефометрических характеристик объектов одновременно на множестве элементов с размерностью $N=n_{\scriptscriptstyle X}\times n_{\scriptscriptstyle V}$ на их поверхности в виде 2D карты глубин ξ_{ij} (расстояний R_{ij}) каждого n_{ii} -го элемента поверхности [4–6]. В лидарах такого типа фотодетектирование и обработка отраженных сигналов осуществляются специализированными 3D камерами (3D LIDAR Imaging Cameras), которые представляют собой высокоинтегрированные твердотельные системы, выполненные на базе многоэлементных фотодетекторов (МФД) – матриц лавинных фотодиодов (SPAD-матриц) [6,7] и многоканальных процессоров обработки. Эти процессоры содержат десятки тысяч времяизмерительных «старт- стоп»-каналов и осуществляют измерение интервалов времени между моментом излучения лазерного импульса t_0 и моментами прихода отраженных сигналов t_{ii} на каждый n_{ii} -й элемент МФД. Решение данной задачи на основе алгоритмов временных «старт-стоп»-измерений с использованием гибридных технологий путем комплексирования множества отдельных времяизмерительных каналов (см., напр., [8]) существенно ограничивает возможность определения рельефометрических характеристик объектов с

В.И.Иванов, Н.И.Иванов. Институт ядерных проблем Белорусского государственного университета, Беларусь, 220030 Минск, ул. Бобруйская, 11; e-mail: ivanov.inp@gmail.com

Поступила в редакцию 18 марта 2020 г., после доработки – 30 марта 2020 г.

высоким пространственным разрешением, т. к. с увеличением размерности N карты глубины рельефа необходимо такое же число элементарных фотодетекторов и параллельно действующих времяизмерительных каналов.

Альтернативой времяпролетным методам получения рельефометрических сигнатур удаленных объектов, не требующим специализированных процессоров с *N* времяизмерительными каналами, является метод лазерной 3D локации, использующий отношения энергий парциальных пучков в 2D распределениях энергии отраженного поля [9]. Базовая концепция метода впервые была предложена нами в патентах [10,11], а сам метод впервые использовался в [12,13]. В настоящей работе исследуются влияние шумовых параметров лидара и внешнего фона на погрешность оценки рельефометрических сигнатур удаленных объектов и особенности практической реализации модифицированного алгоритма данного метода на базе МФД с накоплением заряда.

2. Концепция метода

В соответствии с алгоритмом рассматриваемого метода [9] поверхность объекта, находящегося на расстоянии R от лидара, облучают импульсным лазерным излучением с увеличенной расходимостью пучка. Длительность лазерных импульсов определяется из соотношения

$$\tau_{\rm p} > \frac{2\xi_{k_{\rm max}}(\mathbf{r})}{c},\tag{1}$$

где $\xi_{k\,\mathrm{max}}({\pmb r})$ — максимальная глубина рельефа в k-й точке поверхности объекта; ${\pmb r}$ — вектор с координатами x и y в предметной плоскости; c — скорость света.

В комплексе задач распознавания важное практическое значение имеет задача автоматизированного распознавания удаленных малоразмерных объектов [1,8]. Класс таких объектов включает в себя малоразмерные летательные, наземные, надводные и подводные аппараты, бронетехнику, морские мины, неразорвавшиеся боеприпасы,

фрагменты объектов, потерпевших крушение, параметры морского волнения для обнаружения подводных взрывов и движущихся подводных объектов по их поверхностным проявлениям и т. д. Максимальная глубина рельефа объектов данного класса не превышает $3-4.5\,\mathrm{m}$, что в соответствии с (1) обуславливает минимальную длительность импульсов лазерного излучения $\tau_\mathrm{p}\approx 20-30\,\mathrm{hc}$.

Отраженный сигнал $E_k(\mathbf{r},t)$, поступающий на вход МФД с размерностью N, можно представить в виде совокупности полей N парциальных пучков (субпучков) лазерного излучения. Под парциальным пучком понимается отраженное лазерное излучение, попадающее на одну фотоячейку (пиксель) МФД, расположенного в плоскости изображения приемной оптической системы (ОС). Размерность N МФД определяется требуемым пространственным разрешением лидара в предметной плоскости.

Распределение времени запаздывания (сдвига) $\tau_k(S)$ каждого субпучка отраженного излучения однозначно связано с распределением глубины рельефа $\xi_k(r)$ поверхности объекта соотношением

$$\tau_k(\mathbf{S}) = 2\xi_k(\mathbf{r})/c,\tag{2}$$

где S – вектор с координатами x и y в плоскости МФД, в качестве которого может использоваться матричный фотодетектор с накоплением заряда, например ПЗС.

Максимальное значение времени запаздывания парциального пучка отраженного сигнала определяется выражением

$$\tau_{k\max}(\mathbf{S}) = 2\xi_{k\max}(\mathbf{r})/c. \tag{3}$$

Момент t_1 прихода переднего фронта отраженного импульса относительно момента излучения t_0 лазерного импульса $\tau_{\rm p}$ равен

$$t_1 - t_0 = 2R_{\rm b}/c, (4)$$

где $R_{\rm b}$ – базовое расстояние до точки поверхности с максимальным возвышением, соответствующим $\xi_k=0.$

Для объекта с диффузно рассеивающей поверхностью амплитуда поля в плоскости изображения приемной ОС определяется как сумма полей, отраженных от отдельных точек поверхности в направлении ОС:

$$E(\mathbf{S}) = \sum_{k} E_{0k}(\mathbf{r}, t) K(\mathbf{r}, t) T_{a}(\mathbf{S}, t) A_{k}(\mathbf{S}) = \sum_{k} E_{k}(\mathbf{S}), \quad (5)$$

 $E_{0k}({m r},t)$ — распределение комплексной амплитуды поля лазерного излучения на поверхности; $K({m r},t)$ — распределение коэффициента отражения поверхности; $T_{\rm a}({m S},t)$ — передаточная функция среды, через которую осуществляется перенос лазерного излучения по трассе локации (атмосфера, гидросфера); $A_k({m S})$ — аппаратная передаточная функция ОС лидара; $E_k({m S})$ — амплитуда поля в изображении k-й точки поверхности.

В общем случае следствием распространения лазерного излучения в неоднородной атмосфере являются флуктуации времени распространения лазерного излучения по трассе локации и увеличение длительности лазерных импульсов. Эти явления преимущественно обусловлены флуктуациями углов распространения лазерного излучения в неоднородной атмосфере из-за флуктуаций коэффициента преломления атмосферы на трассе локации. Влияние

рефракции и турбулентности атмосферы на распространение лазерных сигналов исследовалось во многих работах, например в [14-21]. Как показано в [16-19], наибольшие флуктуации углов прихода лазерного излучения (до 5′) вызваны эффектами аномальной рефракции. Частота таких флуктуаций составляет $10^{-3}-10^{-2}$ Гц. Существенно большая частота флуктуаций углов прихода (до 10^3 Гц) связана с тепловой турбулентностью атмосферы. Однако амплитуда таких флуктуаций значительно меньше рефракционных флуктуаций и не превышает 5'' [20]. Низкочастотный характер данных процессов определяет время квазистационарного состояния атмосферы, которое в десятки тысяч раз больше времени распространения и времени экспозиции сигналов на каждом цикле локации.

Согласно [15, 21] среднеквадратичные значения флуктуаций времени распространения и длительности лазерных импульсов при прохождении ими по атмосферным трассам незначительны. Так, например, при распространении лазерных импульсов по горизонтальной атмосферной трассе со средней турбулентностью (структурный показатель преломления $C_n^2(h) = 10^{-14} - 5 \times 10^{-14} \,\mathrm{m}^{-2/3}$) на расстояние 10-15 км данные временные флуктуации находятся в пределах 0.68-1 пс. Для наклонных и вертикальных трасс они могут быть еще меньше: при распространении по вертикальным трассам через всю толщу атмосферы среднеквадратичные значения флуктуаций времени распространения лазерного сигнала и длительности импульса составляют не более 0.07 пс, а при распространении под углом 80° – не более 0.17 пс [21]. Это дает основание полагать, что длительность импульса для каждого парциального пучка отраженного излучения с высокой степенью точности равна длительности излучаемого лазерного импульса $\tau_{\rm p}$, а время распространения лазерного импульса по трассе заданной длины является постоянной величиной.

Трехмерные распределения глубины рельефа поверхности объекта $\xi_k(\mathbf{r})$ определяются из отношения энергий парциальных пучков для двух 2D распределений $B_1(\mathbf{S})$ и $B_2(\mathbf{S})$ энергии отраженного светового поля:

$$\theta(\mathbf{S}) = B_1(\mathbf{S})/B_2(\mathbf{S}). \tag{6}$$

Распределения $B_1(S)$ и $B_2(S)$ получают при разных временах экспозиции (накопления). Распределение $B_1(S)$ находят путем накопления энергии отраженного светового поля E(S,t) в пространственно-временном стробе длительностью $\tau_{\rm s1}=\tau_{\rm p}$ на интервале $(t_1,t_1+\tau_{\rm p})$, который включает в себя передний фронт импульса, или на интервале $(t_1+\tau_{\rm p},t_1+2\tau_{\rm p})$ для заднего фронта импульса. Следовательно, распределение $B_1(S)$ для участка реализации E(S,t), содержащего передний фронт импульса, определяется выражением

$$B_1(S) = |E_k(S)|^2 \int_{t_0}^{\tau_p} f^2(t - \tau_k) dt = |E_k(S)|^2 (\tau_p - \tau_k),$$
 (7)

где

$$f^{2}(t - \tau_{k}) = \begin{cases} 1 \text{ при } t = \tau_{k}, \\ 0 \text{ при } t \neq \tau_{k}. \end{cases}$$

Распределение $B_2(S)$ получают путем накопления энергии поля E(S,t) в стробе с длительностью $\tau_{s2}=\tau_{\rm p}+\tau_{k\,{
m max}}\approx 2\tau_{\rm p}$, равной длительности $T=\tau_{\rm p}+\tau_{k\,{
m max}}$ отраженного сиг-

1070

нала. Следовательно, распределение $B_2(S)$ можно записать как

$$B_2(S) = |E_k(S)|^2 \int_{t_1}^{t_1+T} f^2(t-\tau_k) dt = |E_k(S)|^2 \tau_p.$$
 (8)

В соответствии с (7) и (8) выражение (6) примет вид

$$\theta(\mathbf{S}) = \frac{\tau_{p} - \tau_{k}(\mathbf{S})}{\tau_{p}}.$$
(9)

Из (9) находим 2D распределение времени запаздывания парциальных пучков отраженного излучения $\tau_k(S)$ по отношению к моменту времени t_1 , а следовательно, и к t_0 :

$$\tau_k(\mathbf{S}) = \tau_{s1} - \tau_p \frac{B_1(\mathbf{S})}{B_2(\mathbf{S})} = \tau_{s1} - \tau_p \theta(\mathbf{S}) = \tau_p - \tau_p \theta(\mathbf{S}). \quad (10)$$

Из (10) с учетом соотношения (2) определяем рельефометрическую сигнатуру исследуемого объекта:

$$\xi_k(\mathbf{r}) = \frac{c}{2} [\tau_p - \tau_p \theta(\mathbf{S})], \tag{11}$$

а также карту расстояний $R_{\xi_k}(\mathbf{r})$ до точек рельефа поверхности:

$$R_{\xi_k}(\mathbf{r}) = R_{\mathsf{b}} + \xi_k(\mathbf{r}). \tag{12}$$

Измерения базового расстояния $R_{\rm b}$ осуществляется одним времяизмерительным «старт-стоп»-каналом лидара с пороговым обнаружением момента прихода отраженного сигнала t_1 , по которому также формируются стробимпульсы с длительностями $\tau_{\rm s1}$ и $\tau_{\rm s2}$.

3. Модель для анализа влияния шумовых параметров

На вход МФД лидара поступает смесь отраженного лазерного сигнала и фонового излучения атмосферы и неба. С учетом фонового излучения и уравнений (7), (8) отношение θ'_{ij} для парциального пучка с координатами x_i, y_j в распределении $\theta(S)$ можно записать в следующем виде:

$$\theta'_{ij}(\tau_k) = \frac{B_{1ij}}{B_{2ij}} = \frac{(P_{sij} + P_b)(\tau_p - \tau_k) + P_b \tau_k}{(P_{sij} + P_b)\tau_p + P_b \tau_p}$$

$$= \frac{P_{sij}(\tau_p - \tau_k) + P_b \tau_p}{(P_{sij} + 2P_b)\tau_p},$$
(13)

где P_{sij} и P_b – мощности парциального пучка отраженного сигнала и фонового излучения, попадающих на фотоячейку МФД соответственно; индексы i,j – определяют координаты x_i, y_j фотоячейки n_{ij} в поле МФД.

С учетом того, что $W_{\rm s}=P_{\rm s}\tau_{\rm p}$ и $W_{\rm b}=P_{\rm b}\tau_{\rm p}$ – энергии отраженного сигнала и фона, приходящиеся на одну фотоячейку МФД, а сомножитель $P_{\rm s}(\tau_{\rm p}-\tau_k)=W_{\rm s}(1-m_k)$, где $m_k=\tau_k/\tau_{\rm p}$ – информационный параметр глубины рельефа ξ_k , уравнение (13) для числа фотонов $N_{\rm s}$ и $N_{\rm b}$ имеет вид

$$\theta'_{ij}(\tau_k) = \frac{[W_s(1 - m_k) + W_b]/W_{ph}}{(W_s + 2W_b)/W_{ph}} = \frac{N_s(1 - m_k) + N_b}{N_s + 2N_b}, (14)$$

где $W_{\rm ph} = hv$ – энергия фотона зондирующего излучения.

Обеспечение кратковременных экспозиций 2D полей в заданных временных стробах с малой длительностью $\tau_{\rm s1(s2)}$ возможно как с использованием внешних быстродействующих затворов-модуляторов (см., напр. [22, 23]), устанавливаемых перед МФД, так и путем непосредственного электронного управления процессом фотоэлектрического преобразования и усиления в самих МФД-ПЗС, а также в гибридных электронно-оптических преобразователях (ГЭОПах), представляющих собой электронно-оптические преобразователи (ЭОПы), флуоресцентный экран которых сопряжен с ПЗС [24, 25].

Высокое быстродействие и малый уровень управляющих электрических сигналов (не более 5 В) селективных электроабсорбционных модуляторов на основе GaAsструктур [22, 23] обуславливают перспективность их применения. Однако сильная зависимость центральной длины волны полосы пропускания от температуры требует температурной стабилизации модуляторов данного типа или применения лазеров с аналогичной температурной зависимостью длины волны генерируемого излучения. Низковольтное стробирование (электронный затвор) также просто реализуется в ПЗС: для ПЗС с лавинными фотодиодами $\tau_s \ge 0.2$ нс [26], для ПЗС $\tau_s \ge 40$ нс [27]. Для ГЭОПов $\tau_s \ge 0.4$ нс [25], но при этом требуются высоковольтные управляющие импульсы.

Несмотря на недостатки, свойственные всем ГЭОПам на базе ЭОПов с флуоресцентным экраном, заключающиеся в увеличении шума и уменьшении динамического диапазона с увеличением коэффициента усиления ЭОПа, применение ГЭОПов позволяет обеспечить высокую чувствительность 3D лидара и «быстрое» стробирование сигналов. Построение фотодетекторных каналов (ФДК) лидара на основе новых разработок ГЭОПов с непосредственным электронным возбуждением ПЗС, размещенного внутри вакуумного обьема ЭОПа [28], дает возможность исключить указанные выше недостатки и обеспечить рекордные показатели чувствительности.

Операцию фотоэлектрического преобразования сигналов (13) с учетом влияния шумов и внешнего фонового излучения в Φ ДК на базе ГЭОПа можно описать уравнением

$$\begin{split} \theta'_{ij}(\tau_k) &= \left\{ K_1 [N_{\rm s}(1-m_k) + N_{\rm b}] \right. \\ &+ \sqrt{K_1 \mu_{\rm s1} [N_{\rm s}(1-m_k) + N_{\rm b}] + \bar{N}_{\rm qd}^2 + \bar{N}_{\rm qr}^2 + \bar{N}_{\rm qQv}^2} \, \right\} \end{split}$$

$$\times \left[K_2 (N_{\rm s} + 2N_{\rm b}) + \sqrt{K_2 \mu_{\rm s2} (N_{\rm s} + 2N_{\rm b}) + \bar{N}_{\rm qd}^2 + \bar{N}_{\rm qr}^2 + \bar{N}_{\rm qQv}^2} \right]^{-1} K_{\rm c}^{-1}, \quad (15)$$

где K_1 и K_2 – коэффициенты фотоэлектрического преобразования энергии входного светового сигнала, приходящегося на одну фотоячейку ФДК, в электрический выходной сигнал: для ГЭОПа

$$K_{1(2)} = \eta_1 G K' \eta_2, \tag{16}$$

для ПЗС без внутреннего усиления

$$K_{1(2)} = \eta_2 K'; \tag{17}$$

 η_1 и η_2 – квантовые эффективности ЭОПа и ПЗС соответственно; G – коэффициент усиления; $K^{'}$ – коэффициент

потерь приемной и согласующей оптики; $\mu_{\rm s1(s2)}$ — шумовой фактор, пропорциональный коэффициенту усиления светового сигнала G в ФДК и вносящий дополнительный шум при фотоэлектронном преобразовании с усилением $G\gg 1$ (например, при $G\approx 10^5-10^6$ фактор $\mu_{\rm s1(s2)}=1.2-3.5$ [29, 30]); $\bar{N}_{\rm qd}^2$, $\bar{N}_{\rm qr}^2$ и $\bar{N}_{\rm qQv}^2$ – квадраты средних значений составляющих шума ПЗС: числа электронов темнового тока, числа электронов считывания и числа электронов шума аналого-цифрового преобразования (АЦП) зарядов ПЗС (шума квантования) соответственно.

Реальное различие коэффициентов фотоэлектрического преобразования для каждого пикселя ФДК ($K_1 \neq K_2$) для правильной интерпретации результатов измерений требует знания их отношения K_{1ij}/K_{2ij} , что отражено в уравнении (15) коэффициентом калибровки

$$K_{cii} = K_{1ii}/K_{2ii}. (18)$$

Коэффициенты K_{cij} определяются экспериментально путем измерения отношений энергий $\theta'_{cij} = K_{cij}$ распределений $B_1(S)$ и $B_2(S)$ согласно (15) при равномерной засветке Φ ДК в линейной области его чувствительности излучением от равномерно освещенного экрана и записываются в память вычислителя лидара.

Оценки влияния отношения сигнал/шум ψ_1 на погрешность определения рельефометрических характеристик требуют учета шумовых параметров ФДК и мощности фонового излучения. Особенно существенно влияние данных параметров для распределения $B_1(S)$. Это связано с тем, что в отличие от сигнала $B_2(S)$, фактическое время накопления энергии сигнала $B_1(S)$ уменьшается с увеличением m_k , т. е. с увеличением глубины рельефа, что приводит к пропорциональному уменьшению энергии сигнала $N_s(1-m_k)$, и, следовательно, к ухудшению отношения сигнал/шум, которое в соответствии с (14) для B_1 определяется выражением

$$\psi_1 = \frac{K_1[N_s(1 - m_k) + N_b]}{\sqrt{K_1 \mu_{s1}[N_s(1 - m_k) + N_b] + \bar{N}_{qd}^2 + \bar{N}_{qr}^2 + \bar{N}_{qQv}^2}}.$$
 (19)

Как следует из (19), отношение ψ_1 достигает минимального значения при $m_{k\,\mathrm{max}}$, что соответствует максимальной глубине рельефа $\xi_{k\,\mathrm{max}}$. Сомножитель (1 – $m_{k\,\mathrm{max}}$) в (19) можно представить в виде

$$1 - m_{k \max} = (\tau_{\rm p} - \tau_{k \max}) / \tau_{\rm p} = \frac{\Delta \tau_{\min}}{\tau_{\rm p}}, \tag{20}$$

где Δau_{min} определяет требуемую разрешающую способность по глубине рельефа:

$$\Delta \xi = \frac{c}{2} \Delta \tau_{\min}. \tag{21}$$

Под разрешающей способностью $\Delta \xi$ понимается способность измерения некоторого минимального изменения глубины рельефа с заданной погрешностью, что соответственно определяет число различимых градаций глубин рельефа в заданном диапазоне.

С учетом (20) выражение (19) запишем в виде

$$\psi_{1} = \frac{K_{1} \left[N_{s} \left(\frac{\Delta \tau_{\min}}{\tau_{p}} \right) + N_{b} \right]}{\sqrt{K_{1} \mu_{s1} \left[N_{s} \left(\frac{\Delta \tau_{\min}}{\tau_{p}} \right) + N_{b} \right] + \bar{N}_{n}^{2}}},$$
(22)

где
$$\bar{N}_{\rm n}^2 = \bar{N}_{\rm qd}^2 + \bar{N}_{\rm qr}^2 + \bar{N}_{\rm qOv}^2$$
.

Уравнение (22) определяет минимальное значение отношения ψ_1 для заданного $\Delta \tau_{\min}$. Повышение разрешающей способности (уменьшение $\Delta \xi = f(\Delta \tau_{\min})$) однозначно связано с увеличением ψ_1 , что обусловлено выбором фотодетектора с малым показателем шума \bar{N}_n^2 и увеличением энергии $N_{\rm s}(\Delta \tau_{\min}/\tau_{\rm p})$.

4. Влияние шумовых параметров на погрешность оценки рельефометрической сигнатуры объекта

Оценку влияния шумов проводим для ФДК лидара, выполненного на базе ГЭОПа, содержащего ЭОП с флуоресцентным экраном и ПЗС-матрицу Коdac KAI-1003М [31]. Данная матрица характеризуется относительно невысокой пороговой чувствительностью (40 электронов без учета шума, вносимого АЦП зарядов ПЗС). Вместе с тем она имеет большую глубину потенциальной ямы (емкость зарядового пакета) пикселя, $N_{\rm qmax}=170000$ электронов, что важно как для измерений при большом отношении сигнал/шум, так и для расширения динамического диапазона при оценке глубины рельефа. Оценки выполняем для длительности лазерного импульса $\tau_{\rm p}=30$ нс.

Численные оценки составляющих шума $\bar{N}_{\rm qd}$, $\bar{N}_{\rm qr}$, $\bar{N}_{\rm qQv}$ для $\Pi 3C$ -матрицы Kodac KAI-1003M. Число электронов темнового тока $\bar{N}_{\rm qd}$ определяется как шумовой заряд темнового тока $i_{\rm d}$ за время τ :

$$\bar{N}_{\rm qd} = i_{\rm d} \frac{\tau}{qG} = n_{\rm q} \tau, \tag{23}$$

где q — заряд электрона; $n_{\rm q}$ — среднее число электронов темнового тока.

Согласно паспортным данным матрицы [31] скорость счета электронов темнового тока, приведенная к площади одного пикселя, составляет 2500 электронов в секунду. Соответственно число электронов темнового тока за время накопления 30 нс не превысит 7.5×10^{-5} .

Шум считывания заряда пикселя ПЗС $\bar{N}_{\rm qr}=40$ электронов [31]. Необходимость получения рельефометрических сигнатур в цифровом виде вносит дополнительную погрешность, обусловленную шумом квантования. Среднеквадратичное значение шума квантования определяется согласно [32] из выражения

$$\bar{N}_{\text{qOv}}^2 = \Delta_{\text{Ov}}^2 / 12,\tag{24}$$

где $\Delta_{\mathrm{Qv}}=N_{\mathrm{qmax}}/2^n$ – шаг квантования, который задается разрядностью АЦП 2^n . Для глубины потенциальной ямы ПЗС $N_{\mathrm{qmax}}=170000$ электронов и 10-разрядного АЦП ($2^{10}=1024$) $\bar{N}_{\mathrm{qQv}}^2=166^2/12=2296$.

В соответствии с полученными оценками составляющих шума, применительно к задаче измерения рельефометрической сигнатуры объектов с глубиной рельефа до \sim 4.5 м, показатель шума $\bar{N}_{\rm n}^2$ в (22) равен 3896. С учетом этого отношение сигнал/шум, например для $\Delta\xi=2$ см, достигает единицы при зарядовом числе $N_{\rm sq}$ сигнальных электронов пикселя ПЗС, равном 63 (при $\mu_{\rm s1}=1.2$ для $G\approx500-1000$), что отвечает числу фотонов парциального пучка отраженного сигнала на входе ПЗС $N_{\rm ss}=N_{\rm sq}/\eta_2=210$, где $\eta_2=0.3$ – квантовая эффективность ПЗС KAI-1003M [31].

Табл.1. Численные оценки мошности внешнего фонового излучения.

Источник фонового излучения	Мощность $P_{\rm b}$ в спектральном диапазоне излучения лазера (Вт)	Число фотонов фонового излучения $N_{\rm b}$
Рассеянное излучение звезд в незамутненной ночной атмосфере	8.7×10^{-21}	8.2×10^{-10}
Рассеянное солнечное излучение в незамутненной дневной атмосфере	8.7×10^{-14}	8.2×10^{-3}
Отраженное от облачности солнечное излучение	3.5×10^{-13}	3.32×10^{-2}
Отраженное от подстилающей поверхности солнечное излучение	8.7×10^{-13}	8.2×10^{-2}

Численные оценки мощности внешнего фонового излучения, выраженные в числе фотонов N_{b} за время экспозиции 30 нс, для фонового излучения различной природы согласно [32] приведены в табл.1.

Погрешность оценки глубины рельефа, который определяется по формуле (11), может быть представлена в

$$\sigma_{\xi_{kij}} = \frac{c}{2} \sqrt{\sigma_{\tau_p}^2 + \sigma_{\theta_{kij}}^2}, \tag{25}$$

где $\sigma_{\tau_p}^2$ – среднеквадратичное отклонение длительности $\tau_{\rm s1} = \tau_{\rm p}$, обусловленное погрешностью измерения длительности лазерного импульса и флуктуациями «временной привязки» строб-импульса $\tau_{\rm p}$ к моменту прихода отраженного сигнала t_1 ; $\sigma_{\theta_{kij}}^2 = (\theta_{kij} - \bar{\theta}_{kij}')^2 -$ среднеквадратичное отклонение показателя $\bar{\theta}'_{kii}$, расчитанного по формуле (15) с учетом заданного отношения ψ_1 (22), от точного значения θ_{kij} , определяемого по формуле (9).

На рис.1 представлены расчетные зависимости σ_{ε} от глубины рельефа поверхности объекта ξ для различных отношений сигнал/шум. Анализ этих зависимостей свидетельствует о высокой точности рассматриваемого метода. Погрешность оценки глубины рельефа может быть менее 2 см. «Пьедестал» погрешности $\sigma_{\xi} = f(\xi)$ на данных зависимостях, равный ~2 см, представляет собой систематическую погрешность, вносимую параметром $\sigma_{r_{\rm D}}$ в (25), величина которого составляет ~ 0.14 нс и преимущественно обусловлена временными флуктуациями «привязки» начала измерений к моменту прихода отраженного сигнала t_1 и погрешностью определения длительности лазерного импульса. Погрешность оценки глубины рельефа уменьшается с увеличением отношения сигнал/шум ψ_1 и может быть уменьшена в $\sqrt{n_z}$ раз при усреднении результатов измерений по ряду циклов локации n_z . Данное утверждение хорошо согласуется с полученным нами в эксперименте усредненным по нескольким циклам локации тес-

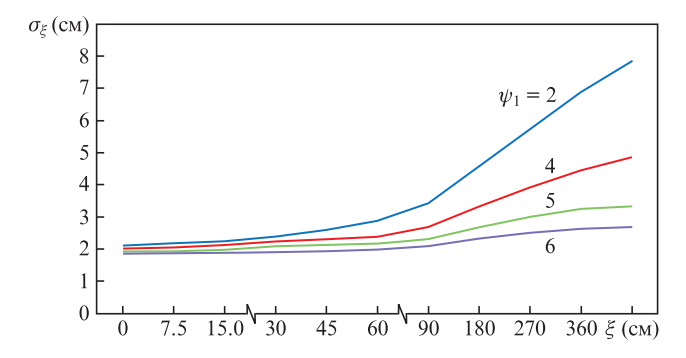


Рис.1. Зависимости погрешности σ_{ξ} от глубины рельефа поверхности объекта ξ при различных значениях ψ_1 .

товых образцов ступенчатого рельефа значением погрешности, которое составило ~ 0.7 см [9].

Точностные характеристики метода полностью удовлетворяют задаче дистанционного обнаружения и распознавания различных объектов [1, 33]. Согласно исследованиям, проведенным в США [27], для автоматизированного распознавания таких объектов по их рельефометрическим сигнатурам минимальной информацией является дискретная размерность поля в плоскости изображения объекта N = 200 элементов при разрешении по глубине рельефа ~15 см, что с успехом достигается с использованием рассмотренного метода даже при относительно невысоких отношениях сигнал/шум.

5. Заключение

Разработанная модель для оценки влияния шумовых параметров 3D лидара позволяет проводить численные оценки погрешности определения рельефометрических сигнатур удаленных объектов с учетом шумовых параметров реальных фотодетекторов и фоновой обстановки. Полученные результаты свидетельствуют о возможности оценки рельефометрических сигнатур объектов с высокой точностью на базе стандартных МФД одновременно для большого числа точек поверхности объекта при отношении сигнал/шум $\psi_1 > 4$. В связи с малыми временами накопления сигналов влияние естественного фонового излучения на погрешность оценки рельефометрических сигнатур несущественно. Число точек поверхности объекта может составлять десятки и сотни тысяч в зависимости от требуемого пространственного разрешения в плоскости изображения объекта и ограничивается только дифракционными явлениями на приемной апертуре оптической системы и доступной энергией импульса лидара.

- Wood J.J., Randall P.N., Nicholas M.R., Nothard J.M., Watson G.H., Harvey C., Smith G. Proc. NATO Military Sensing Symposium (Orlando, USA, 2008, p.147).
- Балоев В.Н., Мишанин С.С., Овсянников В.А., Филлипов В.Л., Якубсон С.Е., Яцык В.С. Оптический журн., 79 (3), 22 (2017).
- Белов В.В., Абрамочкин В.Н., Гриднев Ю.В., Кудрявцев А.Н., Козлов В.С., Рахимов Р.Ф., Шмаргунов В.П., Тарасенков М.В. Оптика атмосферы и океана, 30 (4), 285 (2017).
- Itzler M. Proc. ILMF 2015 (Denver, 2015, p.1).
- Chua S.Y., Wang X., Guo N., Tan C.S., Chai T.Y., Seet G.L. J. Eur. Opt. Soc.-Rapid, 11, 16015 (2016).
- Carrara L., Fiergolski A. Appl. Sci., 9, 2206 (2019).
- Гуядичи А., Симмерес Д., Веронезе Д., Биази Р., Шулинатти А., Рич И., Гилни М., Макяньти П. Фотоника, **6** (36), 32 (2012).
- Грязнов Н.А., Купренюк В.И., Соснов Е.Н. Оптический журн., 82 (2), 27 (2015).
- Иванов В.И., Иванов Н.И. Квантовая электроника, 48 (7), 679 (2018) [Quantum Electron., 48 (7), 679 (2018)].

- Иванов В.И. Патент SU 1593429 A1, G01 S17/00. Приоритет от 04.01.1988.
- 11. Иванов В.И. Патент SU 1591621 A1, G01 C3/08. Приоритет от 11.04.1988.
- 12. Иванов В.И. В сб.: Методы и средства дистанционного зондирования Земли и обработки космической информации в интересах народного хозяйства (Рязань, 1989, ч. 1, с. 39).
- Иванов В.И. В сб.: Высокоскоростная фотография, фотоника и метрология быстропротекающих процессов (М., 1989, с. 114).
- 14. Татарский В.И. Распространение волн в турбулентной среде (М.: Наука, 1967).
- 15. Зуев В.Е., Банах В.А., Покасов В.В. *Оптика турбулентной атмосферы. Т.5* (Л.: Гидрометеоиздат, 1988).
- Куштин И.Ф. Рефракция световых лучей в атмосфере (М.: Недра, 1974).
- 17. Лукин В.П. *Атмосферная адаптивная оптика* (Новосибирск: Наука, 1986).
- 18. Меламуд А.Э., Лукин В.П. Патент SU 1553828 A1, G01 C15/00. Приоритет от 26.06.85.
- 19. Лукин В.П., Меламуд А.Э., Миронов В.Л. *Изв. вузов. Сер. Физика*, деп. ВИНИТИ № 6774 (1984).
- 20. Прилепин М.Т., Голубев А.Н. Оптические квантовые генераторы в геодезических измерениях (М.: Недра, 1972).
- 21. Brookner E. IEEE Trans. Commun. Techol., 4, 396 (1970).

- Sang Hun Lee, Chang Young Park, Yang-Woo You, Heesun Yoon, Yong-Chul Cho, Yong-Hwa Park. Sensors and Actuators A: Physical, 197 (1), 47 (2013).
- Byung Hoon Na, Gun Wu Ju, Chang Young Park, Soo Kyung Lee, Hee Ju Choi, Yong Chul Cho, Yong Hwa Park, Yong Tak Lee. Opt. Lett., 40 (14), 3376 (2015).
- 24. Медведев А., Соколов Д.С. Фотоника, 6 (36), 42 (2012).
- 25. Морозова Е.Э., Подвязников В.А., Сладкова Е.С., Чевокин В.К. ΠT \mathcal{F} , 5, 157 (2017).
- Pancheri L., Dalla Betta G.-F., Stoppa D. SPIE Newsroom, 1 (2014). DOI:10.1117/2.1201405.005477.
- Умбиталиев А.А., Цыкулин А.К., Манцветов А.А., Козлов В.В., Рычажников А.Е., Баранов П.С., Иванов А.В. Оптический журн., 79 (11), 84 (2012).
- 28. Алымов О.В., Левко Г.В., Чукавина Ю.Г., Чулков В.Г. *Изв. ЮФУ. Сер. Технические науки*, **9** (122), 161 (2011).
- Соболева Н.А., Меламид А.Е. Фотоэлектронные приборы (М.: Высшая школа, 1974).
- 30. Эдвардс С. Электронные компоненты, 11, 19 (2013).
- 31. https://www.onsemi.com/pub/Collateral/KAI-1003-D.PDF.
- 32. Гарнов С.В., Моисеева А.В., Носатенко П.Я., Фомин В.Н., Церевитинов А.Б. *Труды ИОФАН*, **70**, 26 (2014).
- 33. Zheng Q., Der S. IEEE Trans. Image Proces., 10 (4), 897 (2001).